

(株)総合技術コンサルタント  
関西大学工学部  
関西大学工学部

正会員 宮花 邦宏  
正会員 三上 市藏  
正会員 米沢 博

1. まえがき 最近、長大スパン橋に鋼箱桁が採用されることが多く、その部材として薄板に多数の補剛材を配置した補剛板が用いられるのが普通である。補剛腹板あるいは圧縮補剛フランジの局部座屈および補剛板としての部分座屈に関する研究は多数見受けられる。補剛腹板と圧縮補剛フランジとが一体となって連成座屈する場合については弹性座屈を対象にした研究<sup>1)</sup>はあるが、非弹性座屈を対象にした研究は見当らないようである。ここでは、多数の補剛材を有する箱桁が曲げを受け、補剛腹板および圧縮補剛フランジが一体となって非弹性連成座屈する場合を解析する。また、先に報告した実験結果<sup>2)</sup>を用いて、この理論の妥当性を検討する。

2. 解析方法 箱桁が曲げを受け、ダイヤラムあるいはラーメン構造の間隔との間で腹板と圧縮フランジとが連成座屈するものとする。補剛腹板および圧縮補剛フランジを直交異方性板とみなす。補剛材で囲まれた板パネルおよび補剛材の局部座屈は連成座屈が起るまで生じないものとする。任意の断面は変形後も平面を保持するものとし、圧縮・引張フランジのひずみは腹板の圧縮・引張縁のひずみに等しいものとすると、任意の位置 $y_i$ のひずみは  $\varepsilon_x = (\lambda y_i / b_i - 1) \varepsilon_0$  となる。ここに、 $\lambda$  は中立軸の位置を示す定数で、 $-\varepsilon_0$  は圧縮フランジの作用ひずみである。腹板は引張フランジによって拘束を受けるが、非弹性域

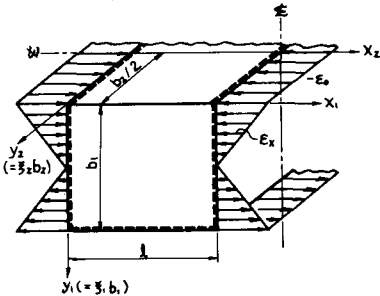


図-1

になることを考慮して腹板下端は単純支持されているものと考える。腹板、圧縮フランジとも載荷辺は単純支持されているものとする(図-1)。また、桁曲げによって生じる腹板面内変位および圧縮フランジのたわみは無視する。

直交異方性変剛板が非弹性座屈した場合のたわみ曲面の微分方程式は次のようになる。

$$\begin{aligned} D_{xi} \frac{\partial^2 w_i}{\partial x_i^2} + 2(D_{xi} + 2D_{xyi}) \frac{\partial^2 w_i}{\partial x_i \partial y_i} + D_{yi} \frac{\partial^2 w_i}{\partial y_i^2} + 2 \left[ \frac{\partial^2 \bar{\epsilon}_i}{\partial x_i^2} \frac{\partial^2 w_i}{\partial x_i^3} + \left( \frac{\partial^2 D_{xi}}{\partial x_i^2} + 2 \frac{\partial^2 D_{xyi}}{\partial x_i^2} \right) \frac{\partial^2 w_i}{\partial x_i^2 \partial y_i} + \frac{\partial^2 D_{xi}}{\partial x_i^2} + 2 \frac{\partial^2 D_{xyi}}{\partial x_i^2} \right] \frac{\partial^2 w_i}{\partial x_i \partial y_i^2} + \frac{\partial^2 D_{xi}}{\partial y_i^2} \frac{\partial^2 w_i}{\partial y_i^3} \\ + \left( \frac{\partial^2 D_{xi}}{\partial x_i^2} + \frac{\partial^2 D_{yi}}{\partial y_i^2} \right) \frac{\partial^2 w_i}{\partial x_i^2} + 4 \frac{\partial^2 D_{xyi}}{\partial x_i \partial y_i} \frac{\partial^2 w_i}{\partial x_i \partial y_i} + \left( \frac{\partial^2 D_{xi}}{\partial y_i^2} + \frac{\partial^2 D_{yi}}{\partial x_i^2} \right) \frac{\partial^2 w_i}{\partial y_i^2} = \bar{\epsilon}_{xi} \bar{\epsilon}_{xi} \frac{\partial^2 w_i}{\partial x_i^2} \quad (i=1,2) \end{aligned} \quad (1)$$

ただし、 $w_i$  は直交異方性板 $i$  のたわみ、 $\bar{\epsilon}_{xi}$  は補剛板 $i$  を直交異方性板 $i$  に換算した場合の板厚である。 $\bar{\epsilon}_{xi}$  は $x_i$  方向の作用応力で、ひずみ $\bar{\epsilon}_i$  を用いて Richard<sup>3)</sup> が与えた応力-ひずみ関係式  $\bar{\epsilon}_{xi} = E \bar{\epsilon}_i / [1 + E \bar{\epsilon}_i / \Omega_i]^{\nu_i}$  (E は弾性係数、 $\Omega_i$  は降伏応力、 $\nu_i$  は形状係数) によって求まる。 $D_{xi} = T_{xi} D_{xi}$ 、 $D_{yi} = T_{yi} D_{yi}$ 、 $D_{xyi} = T_{xyi} D_{xyi}$  で、 $D'$  は非弹性域における剛度、 $D$  は弾性域における剛度、 $\bar{\epsilon}$  は低減係数で Bleich<sup>4)</sup> の理論を準用する。また、 $D_{xi}$ 、 $D_{yi}$  および  $D_{xi} + 2D_{xyi}$  はそれぞれ $x_i$  方向、 $y_i$  方向曲げ剛度および有効ねじり剛度であり、 $i=1$  の場合は腹板を、 $i=2$  の場合は圧縮フランジを示す。ここで、腹板の応力は $x_i$  方向に一様、圧縮フランジの応力は $x_i$  方向、 $y_i$  方向に一様とし、腹板および圧縮フランジのたわみを載荷辺における境界条件を満足する関数  $w_i = \sum f_i(\bar{\epsilon}_i) \sin(m\pi x_i/l)$ 、 $\bar{\epsilon}_i = y_i/b_i$  と表わすと式(1)は $f$  に関する常微分方程式に変換できる。

差分法を用い、断面の垂直軸に関する対称性を考慮、1/2断面を解析する。弹性座屈の厳密解<sup>1)</sup>に対する差分解の精度を調べたところ腹板を40分割、圧縮フランジの半分を20分割した場合に解の誤差は0.2%以内であったので、この分割を採用した。

**3. 解析結果** 補剛腹板の剛度と腹板主板の剛度との比を  $D_{x1}/D_{01}=D_{y1}/D_{01}=20$ ,  $D_{11}/D_{01}+2D_{xy1}/D_{01}=1$ , 圧縮補剛フランジの剛度と圧縮フランジ主板の剛度との比を  $D_{x2}/D_{02}=50$ ,  $D_{y2}/D_{02}=100$ ,  $D_{22}/D_{02}+2D_{xy2}/D_{02}=1$  とした場合の計算結果を示す。ただし、 $M_{cr}$  は座屈モーメント、 $M_{Yf}$  は圧縮フランジ全断面降伏モーメントで、いずれも腹板水平補剛材の断面積を無視した。

圧縮フランジ主板と腹板主板の剛度比を  $D_{02}/D_{01}=8$  として、フランジ幅と腹板高の比が  $b_2/b_1=0.5 \sim 1.5$  の範囲の座屈荷重曲線を図-2(a) に、 $b_2/b_1=0.5, 1, 1.5$  の場合の最小座屈荷重を与える腹板縦横比  $l/b_1$  に対する理論座屈モードを図-2(b) に示す。 $b_2/b_1$  の値が増すと、すなわち箱断面が縦長から横長になるに伴い座屈荷重は低下し、有効座屈長は長くなる。また、理論座屈モードからは、縦長断面( $b_2/b_1=0.5$ )の場合には腹板座屈が卓越し、正方形断面( $b_2/b_1=1$ )の場合には腹板とフランジが同時に座屈し、横長断面( $b_2/b_1=1.5$ )の場合にはフランジ座屈が卓越していることが分かる。

次に、圧縮フランジの剛度と腹板の剛度との関係が座屈荷重に及ぼす影響を図-3 に示す。フランジ剛度が腹板剛度に比べてそれ程大きくなかった場合にはフランジ座屈が卓越し、この場合にはフランジ剛度を増すことによって座屈荷重は増大する。フランジ剛度と腹板剛度との比がある値以上になると腹板座屈が卓越し、フランジ剛度を増加しても座屈荷重は増加しない。フランジ座屈が卓越する場合の有効座屈長は長く、腹板座屈が卓越する場合のそれは短い。

**4. 理論値と実験値の比較** 先に、スパン 8m, 枠高 1.5m, 腹板間隔 1m の全溶接鋼箱桁模型(図-4)に対する曲げ破壊実験を行った。試験パネルの長さは 2m, 圧縮フランジには縦方向に 9 本、横方向に 4 本の補剛材があり、腹板には水平方向に 5 本、垂直方向に 4 本の補剛材が配置されている。この結果と理論値を比較すると表-1 のようになる。崩壊モーメント  $M_{cr}$  を次式のように考える。

$$M_{cr} = M_{Yf}^* (M_{cr}/M_{Yf})$$

ここに、 $M_{Yf}^*$  は箱桁の全断面(腹板水平補剛材を含む)に対する断面 2 次モーメントを用いて計算した圧縮フランジ主板中央面降伏モーメントである。理論値は実験値に対して 6% 以内の安全側の値として求まり、本理論を用いて多数の補剛材を有する鋼箱桁の曲げ耐荷力を十分な精度で推定することが可能であると考える。

- 1) 木沢・三上: 箱桁の弾性座屈について、土木学会論文集、No.120, 1965-8.  
 2) 三上・堂迫・宮花・木沢: 多数の補剛材を有する箱桁の曲げ耐荷力実験、関西支部年次学術講演会、1979.  
 3) Richard and Blacklock: Finite element analysis of inelastic structures, AIAA Journal, Vol. 7, No. 3, Mar., 1969.  
 4) Bleich: Buckling Strength of Metal Structures, McGraw-Hill, New York, 1952.

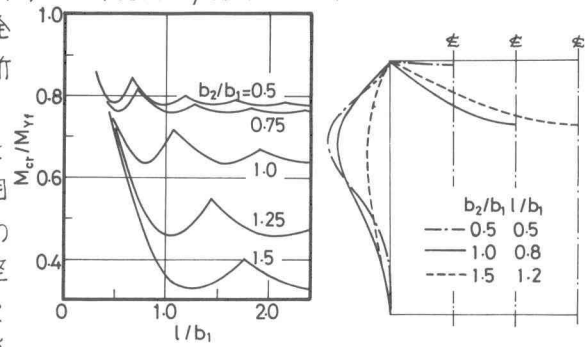


図-2 (a) 座屈荷重曲線 (b) 理論座屈モード

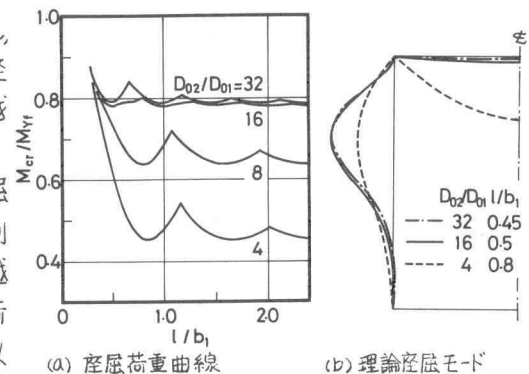


図-3 (a) 座屈荷重曲線 (b) 理論座屈モード

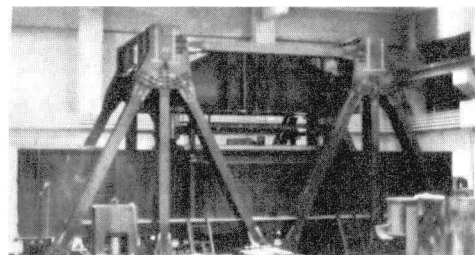


図-4

表-1

Model No.	Observed ( $M_{cr}/M_{Yf}^*$ )	Predicted		Observed Predicted
		D	T	
6-1	0.976	1.037	0.959	1.02
6-3	1.036	1.034	0.978	1.06

D: Buckling between diaphragms  
 T: Buckling between transverse stiffeners